

FIG. 1

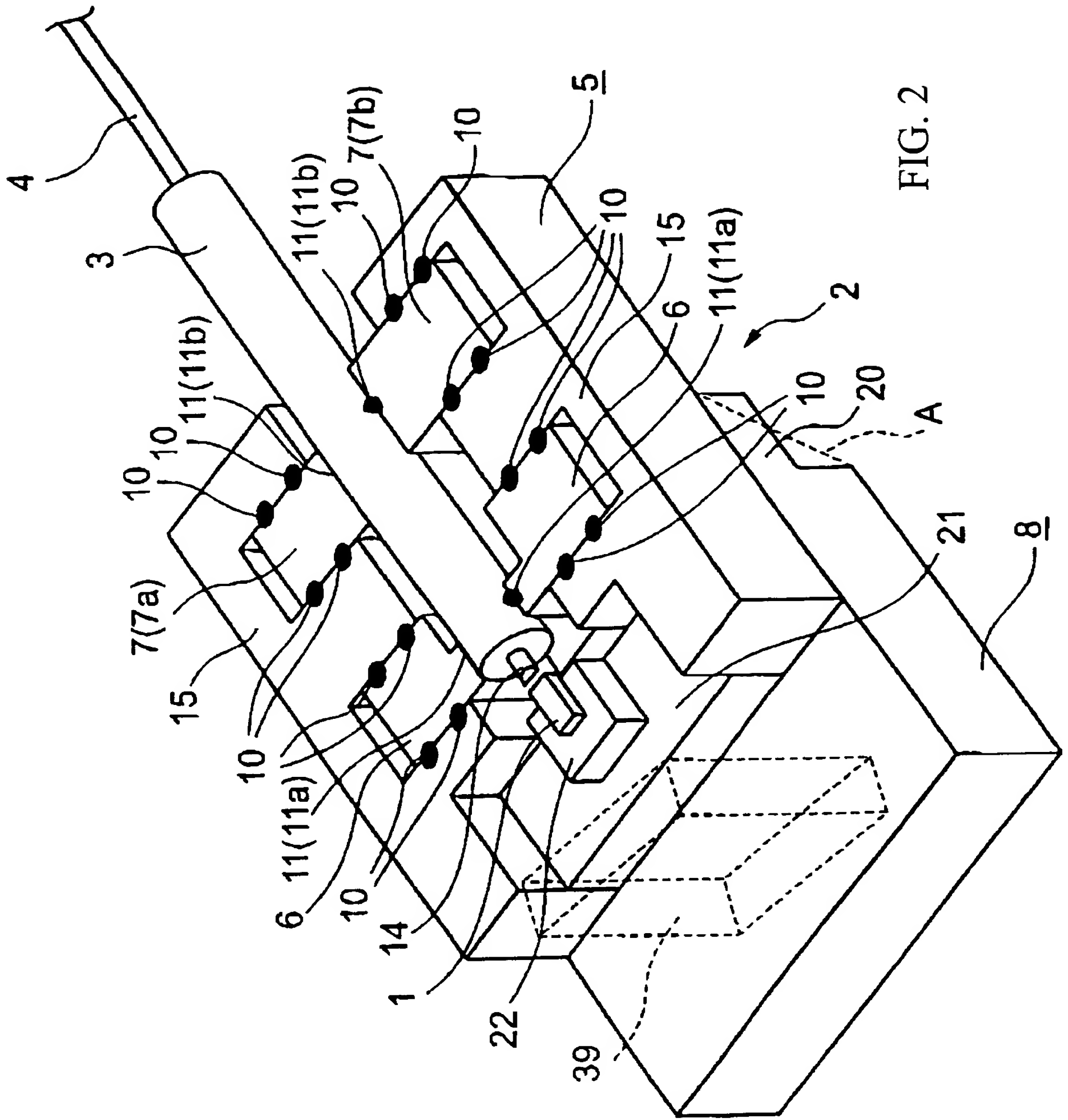


FIG. 2

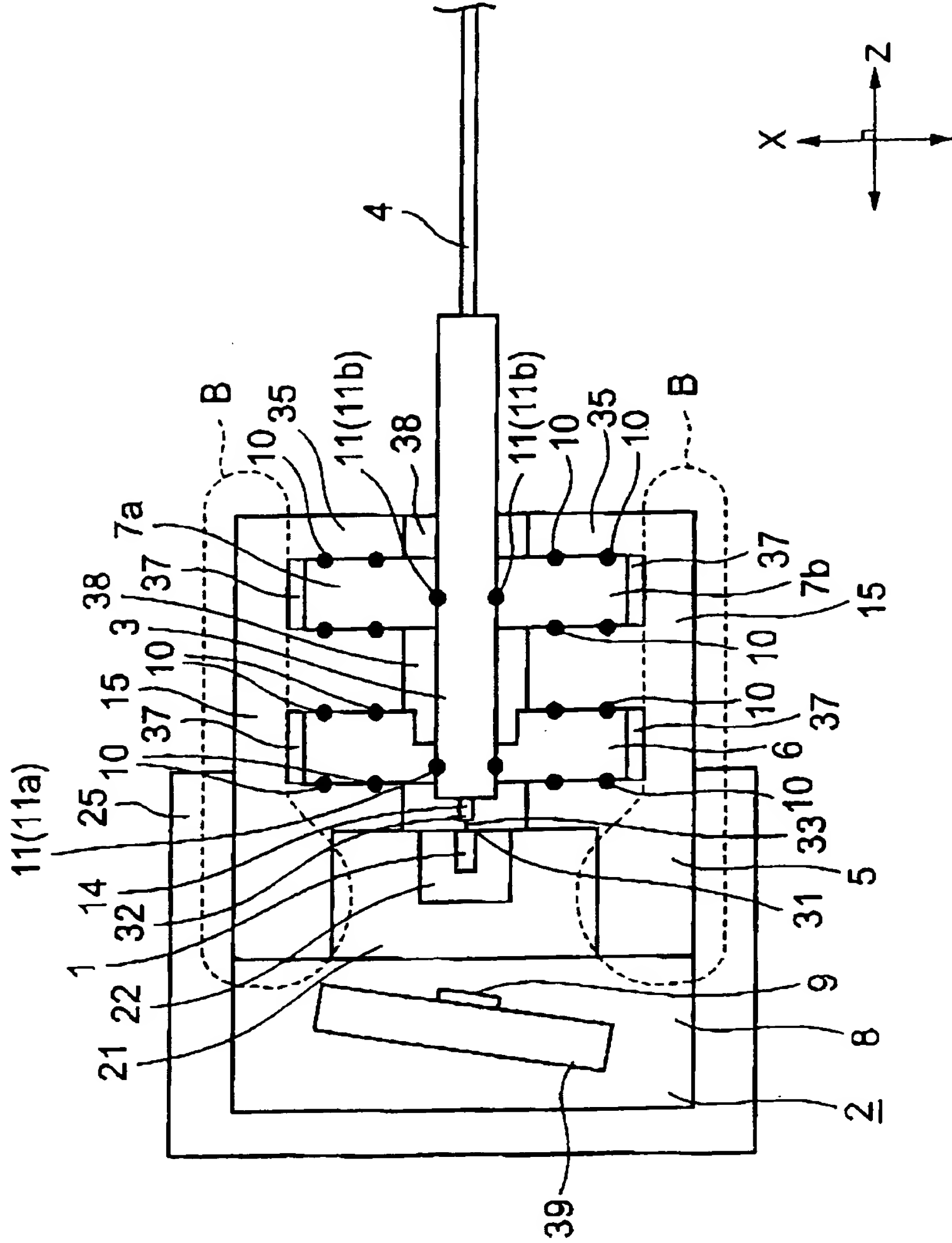


FIG. 3

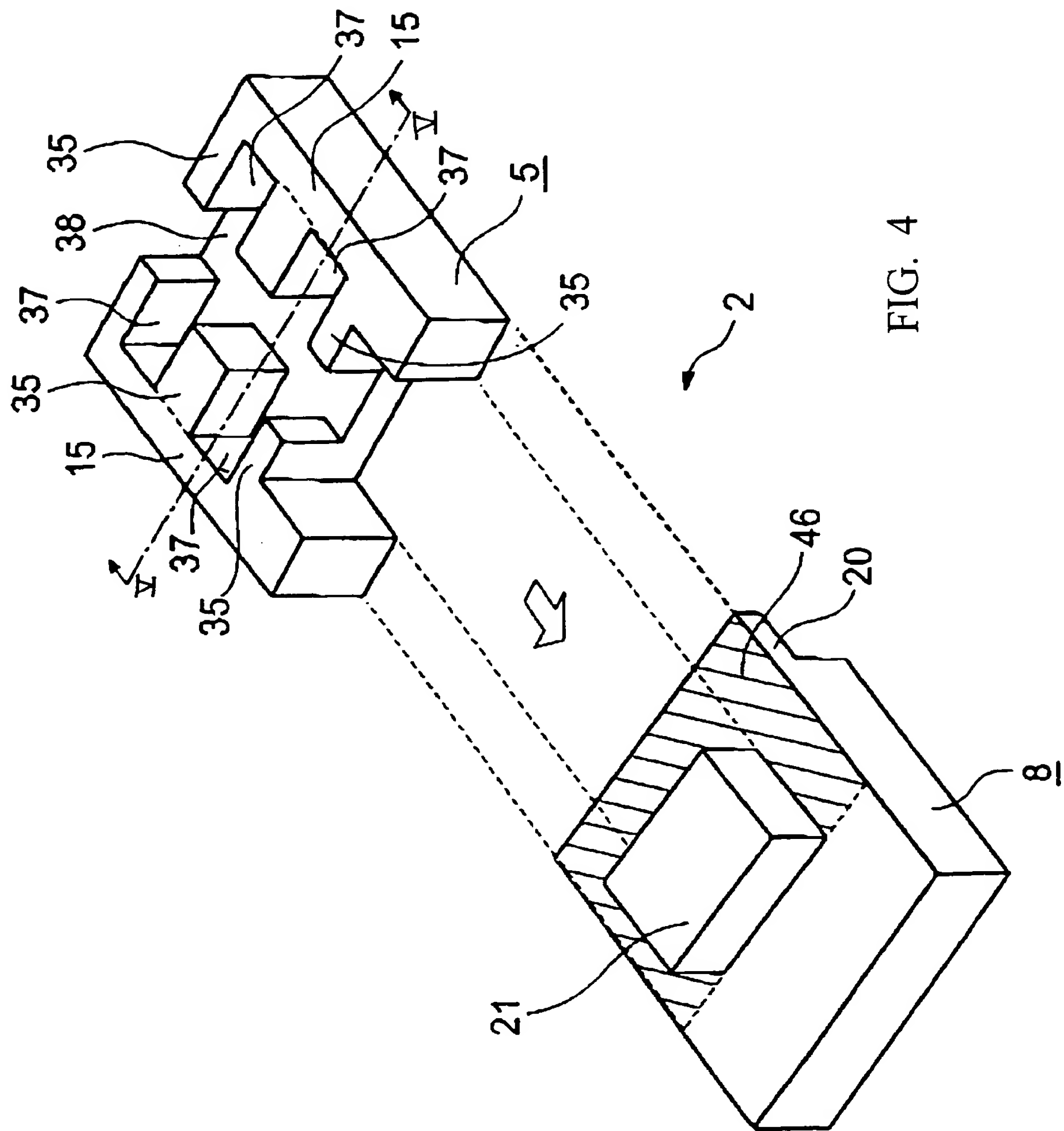


FIG. 4

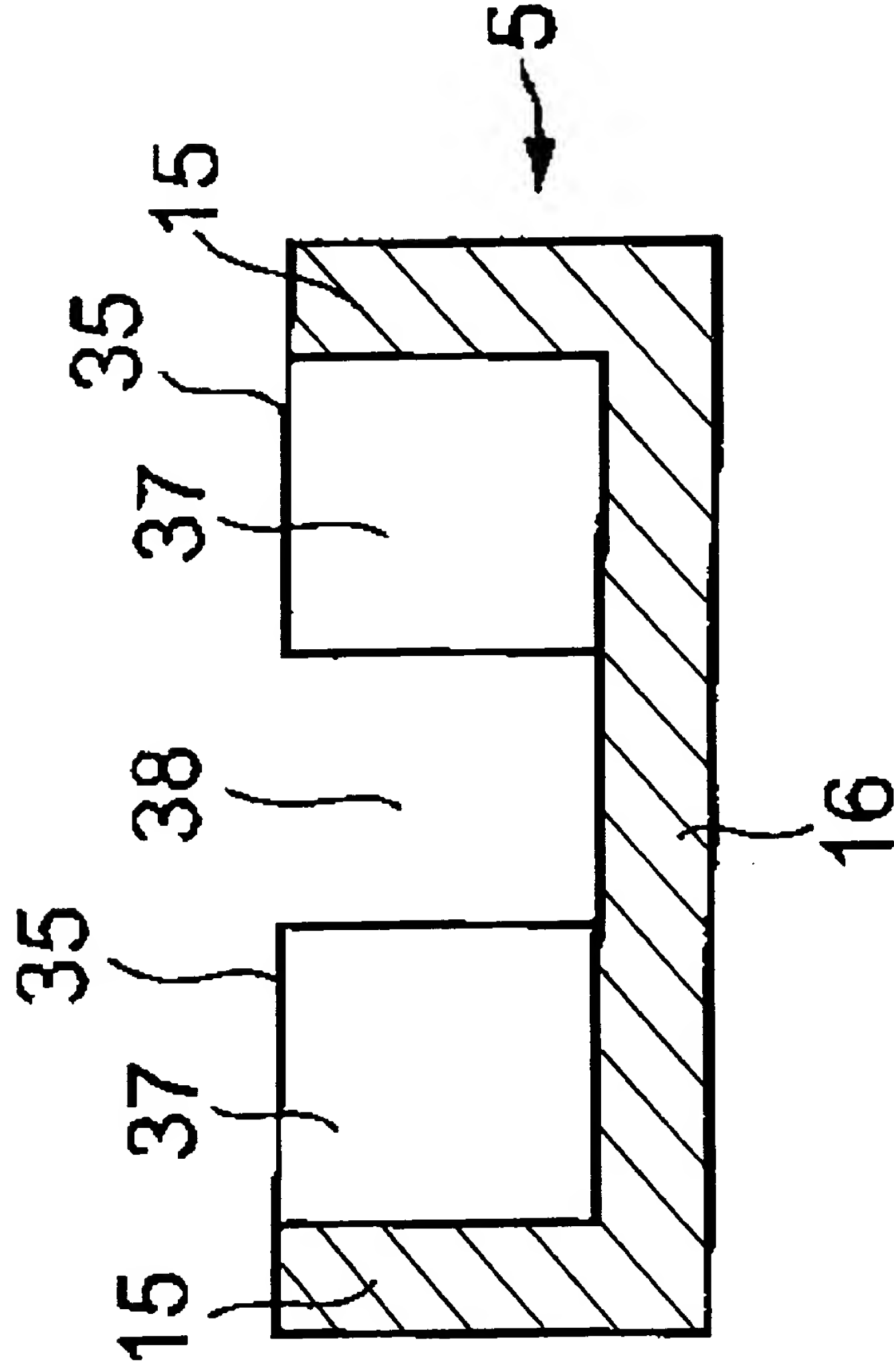


FIG. 5

FIG. 6(a)

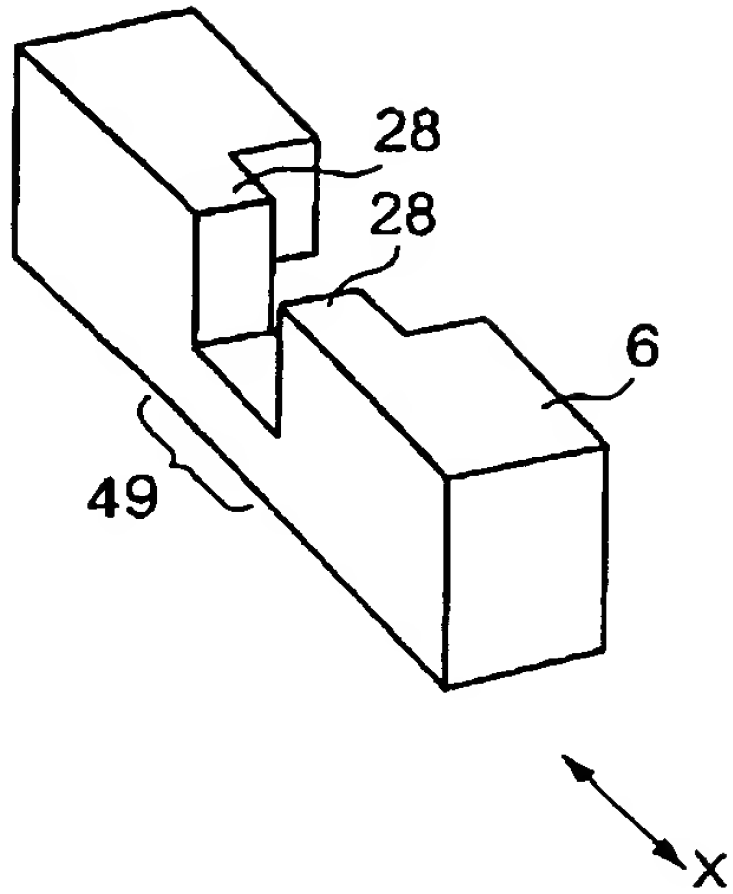


FIG. 6(b)

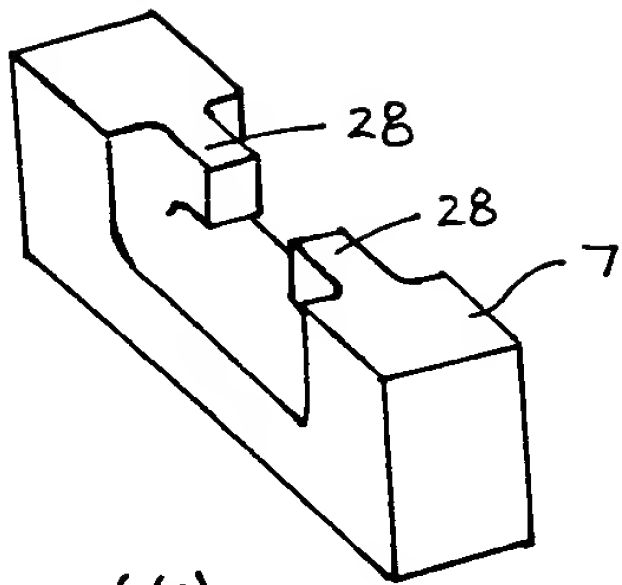
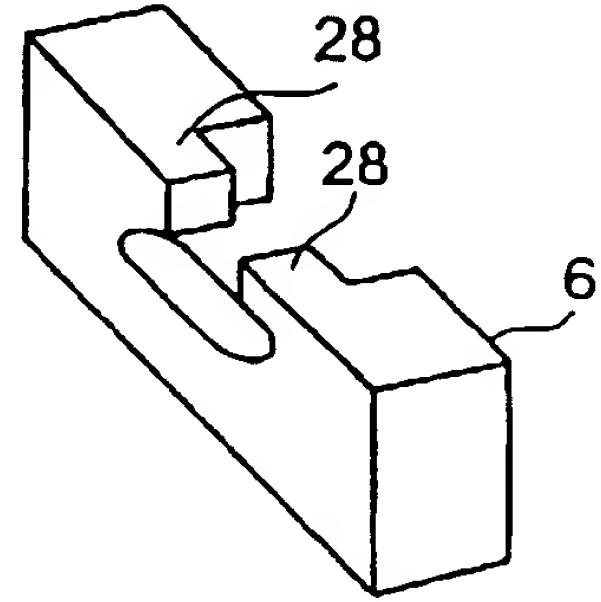
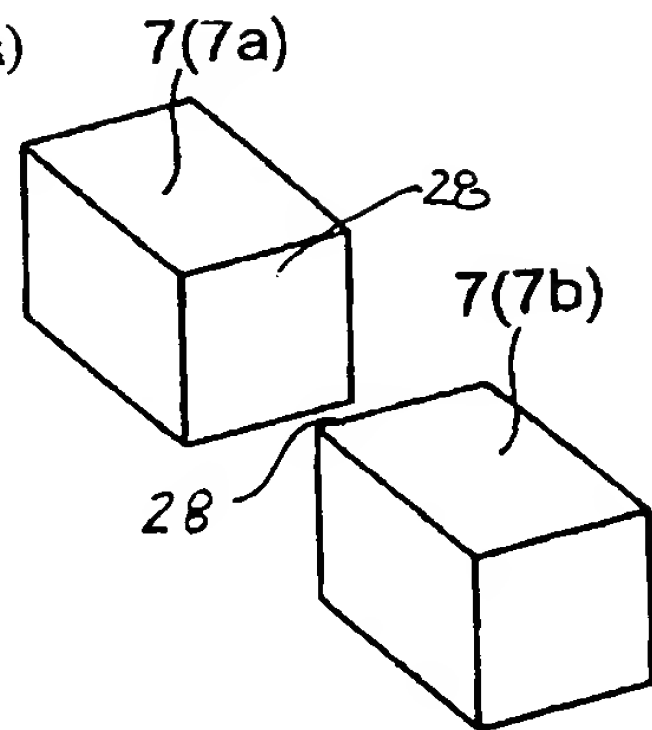


FIG. 6(c)

FIG. 6(d)



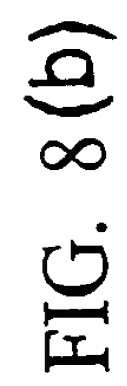
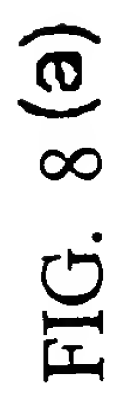




FIG. 9



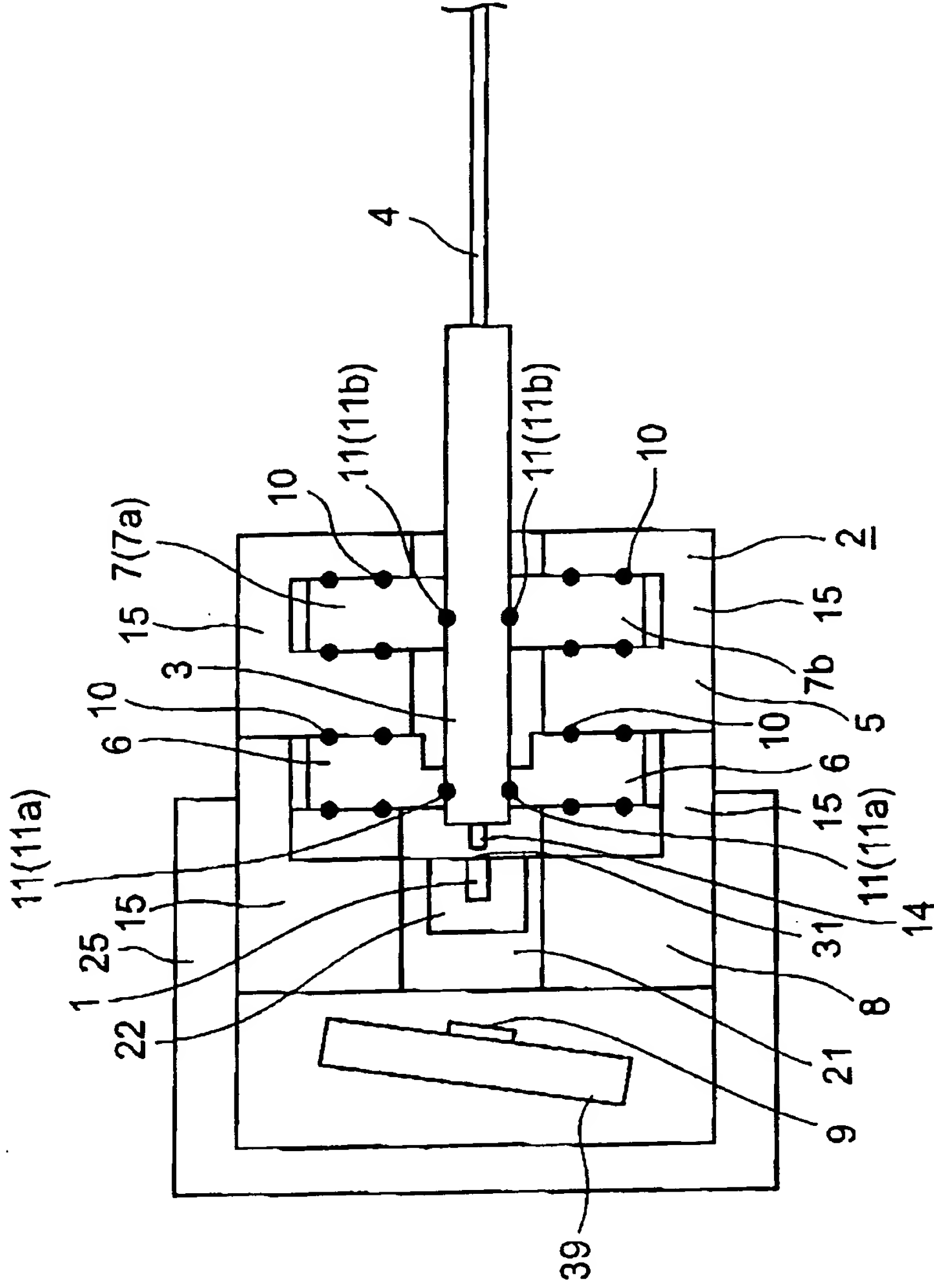


FIG. 10

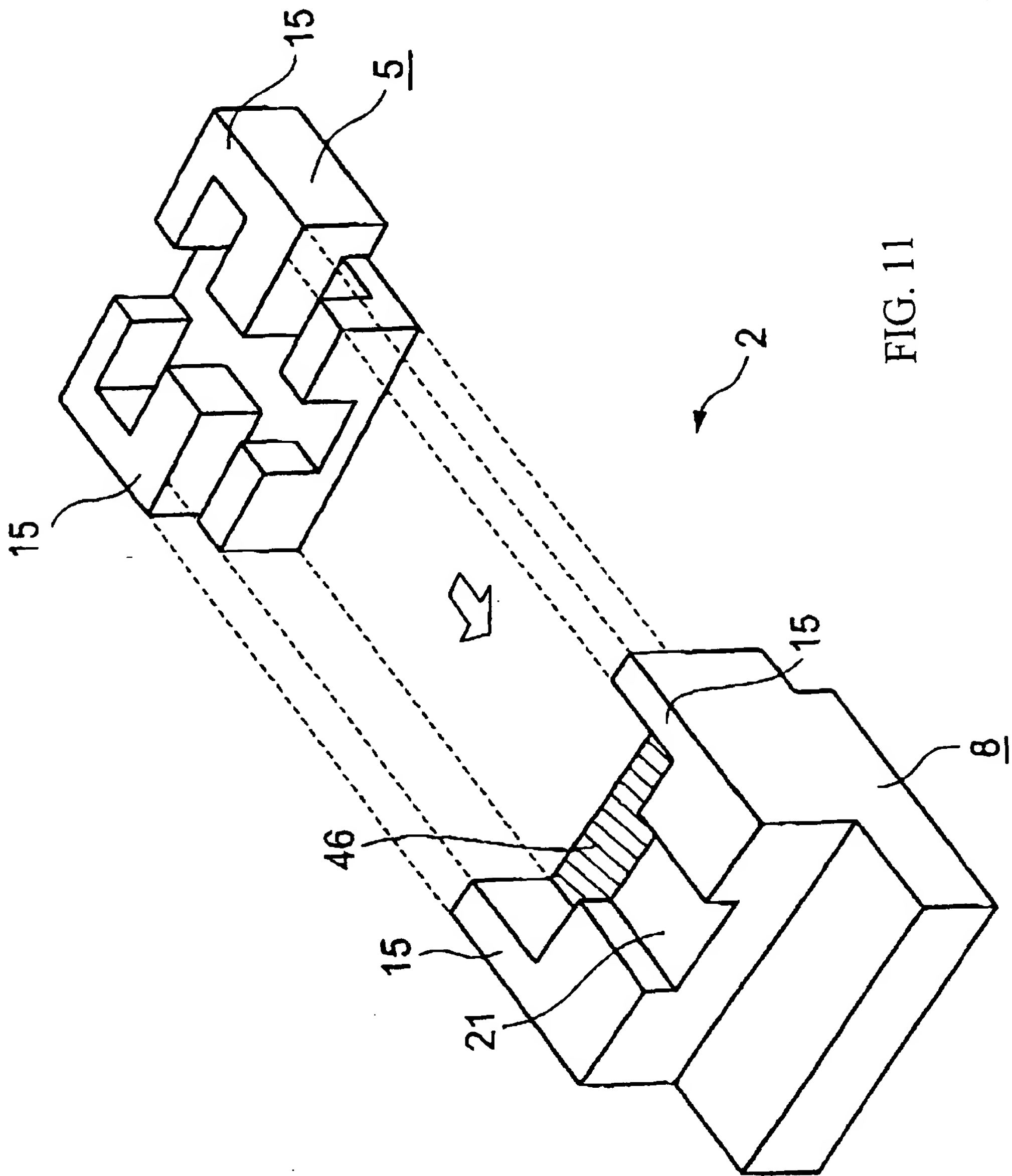


FIG. 11

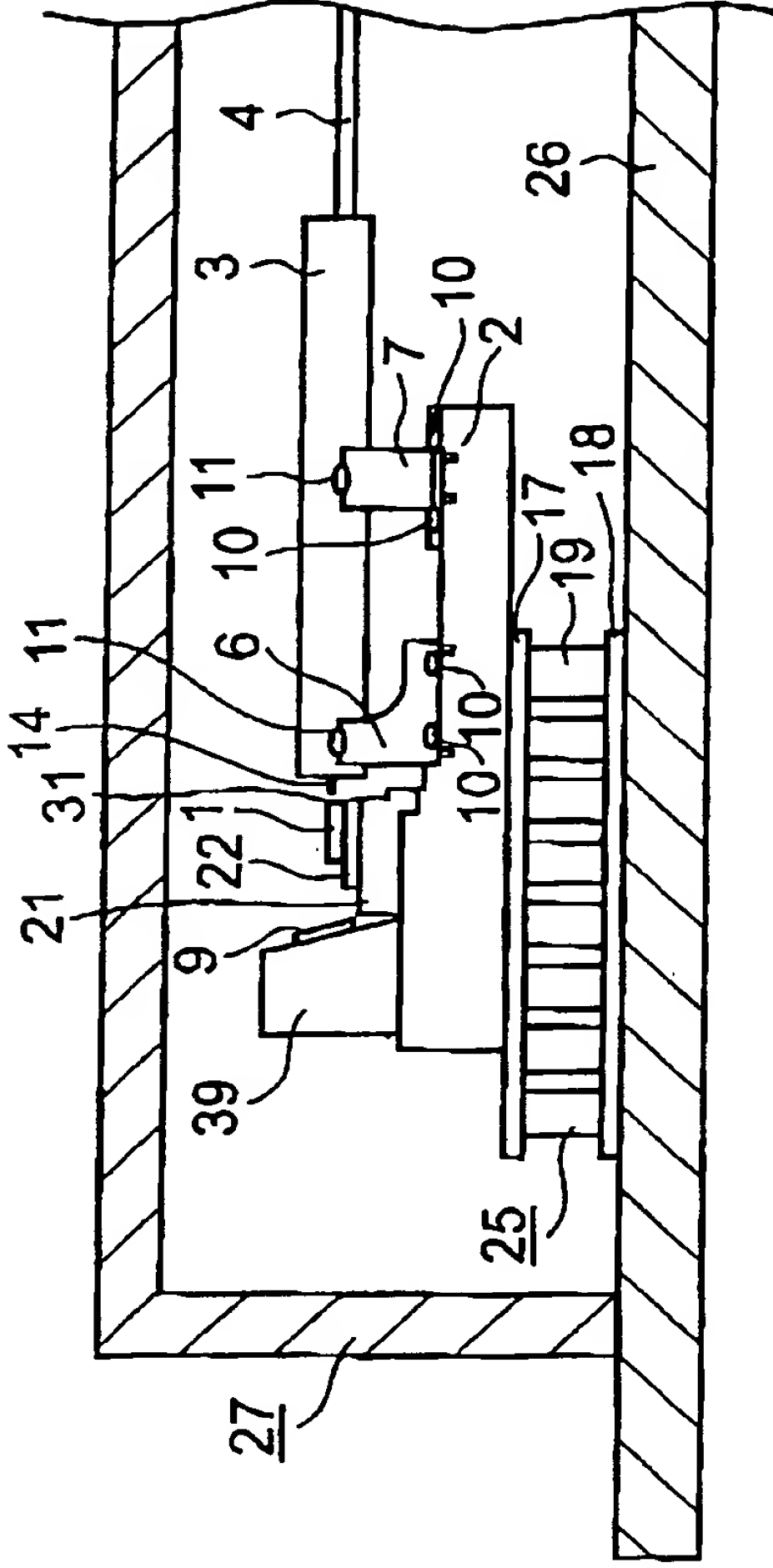
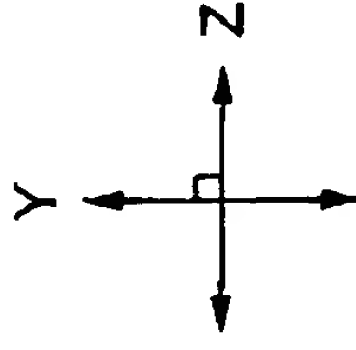


FIG. 12 (a)

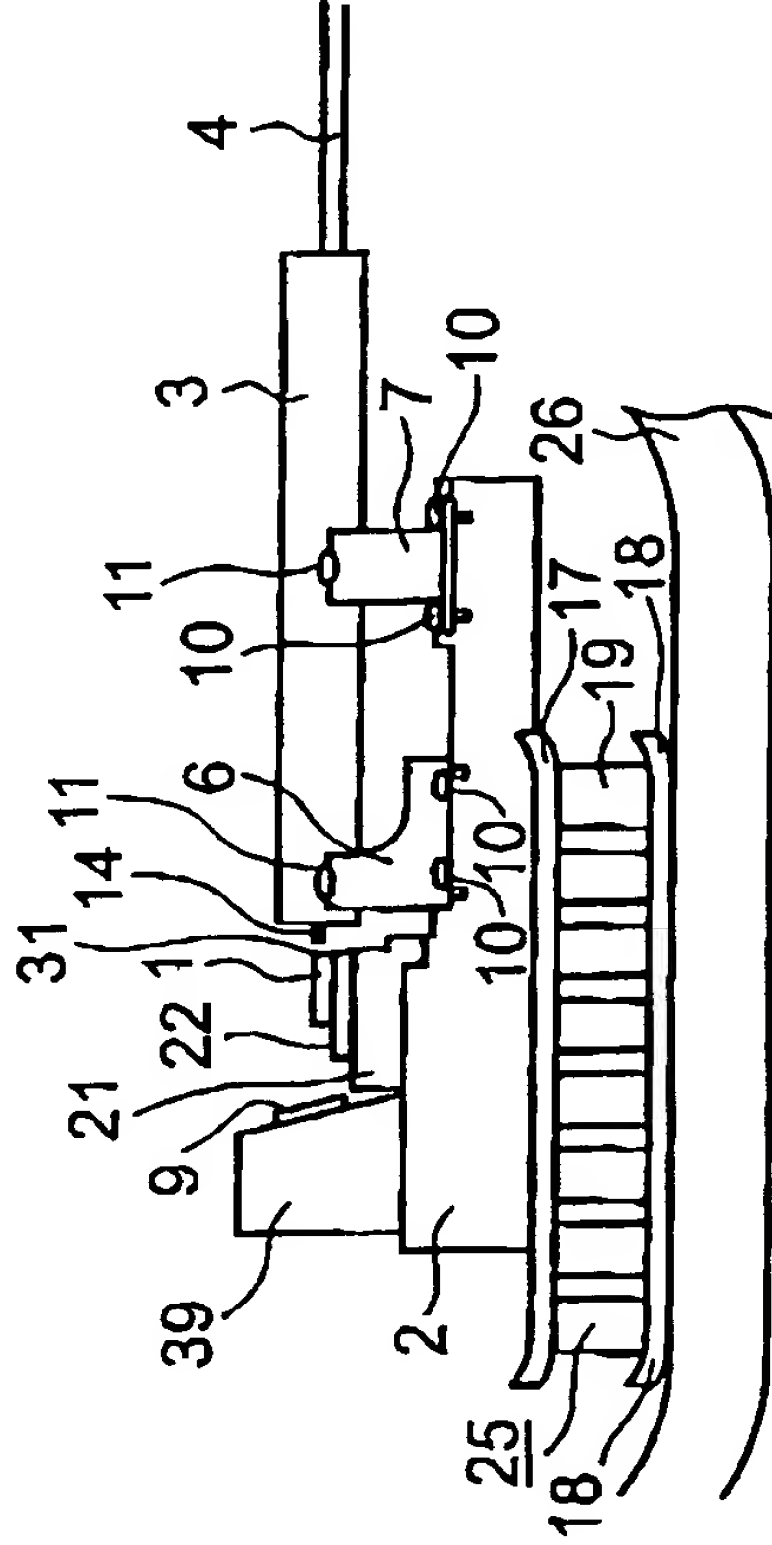


FIG. 12 (b)

FIG. 13(a)

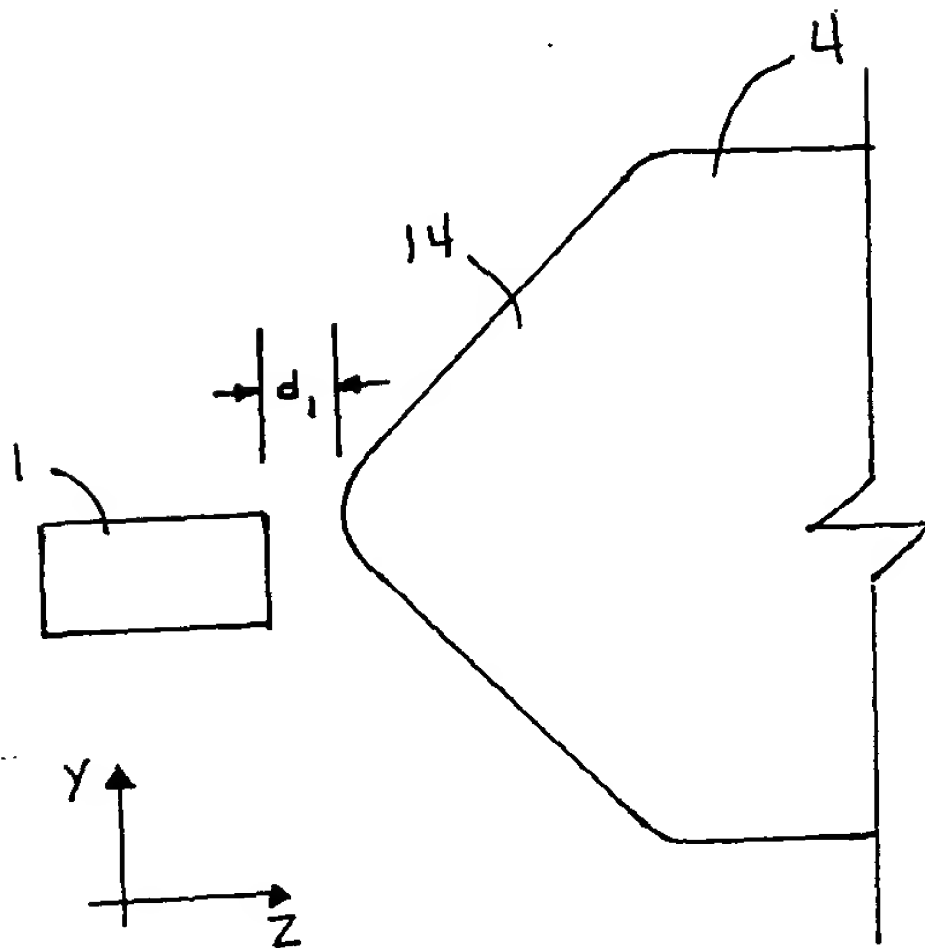
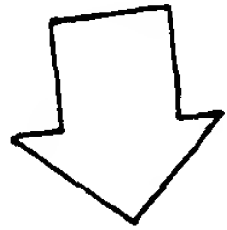
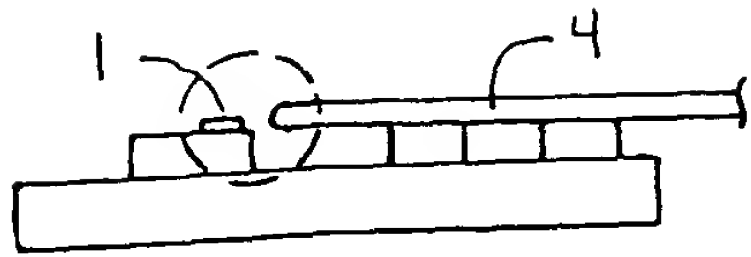


FIG. 13(b)

FIG. 14(a)

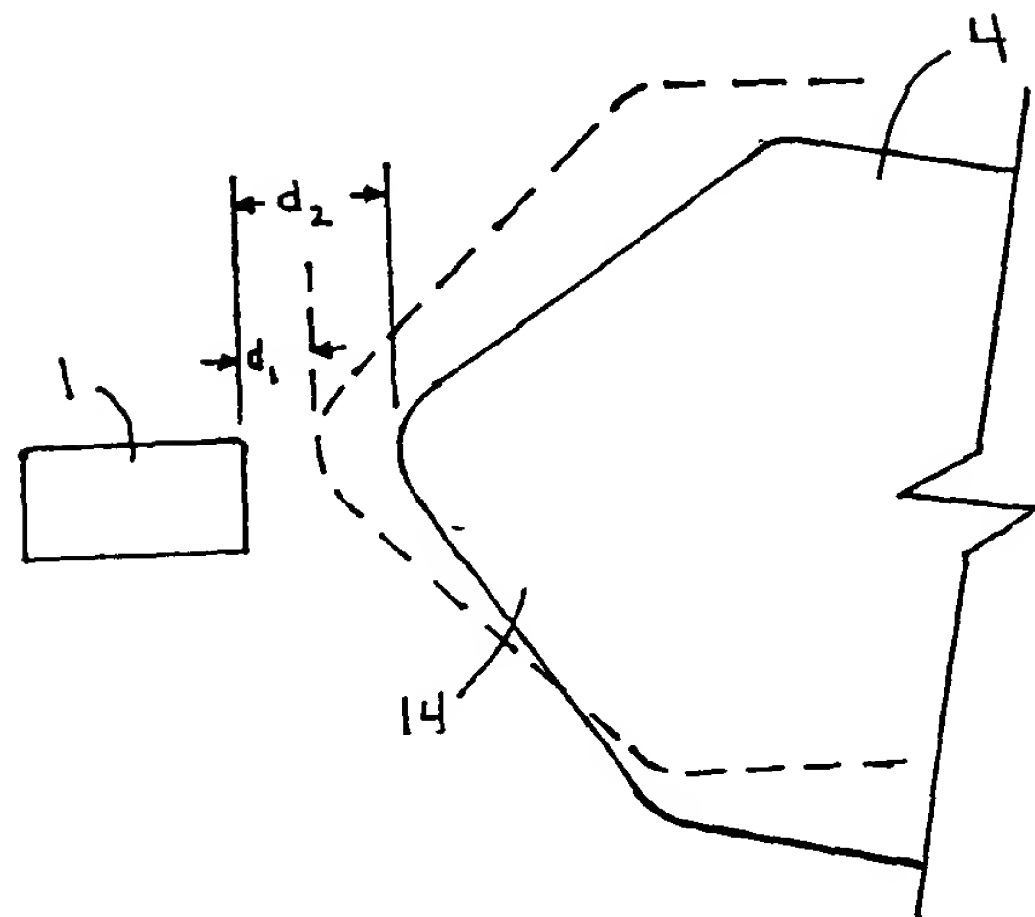
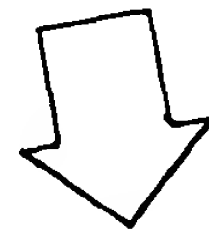
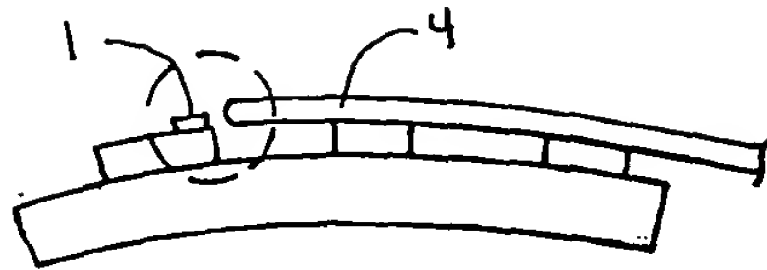


FIG. 14(b)

FIG. 13(a) FIG. 13(b)

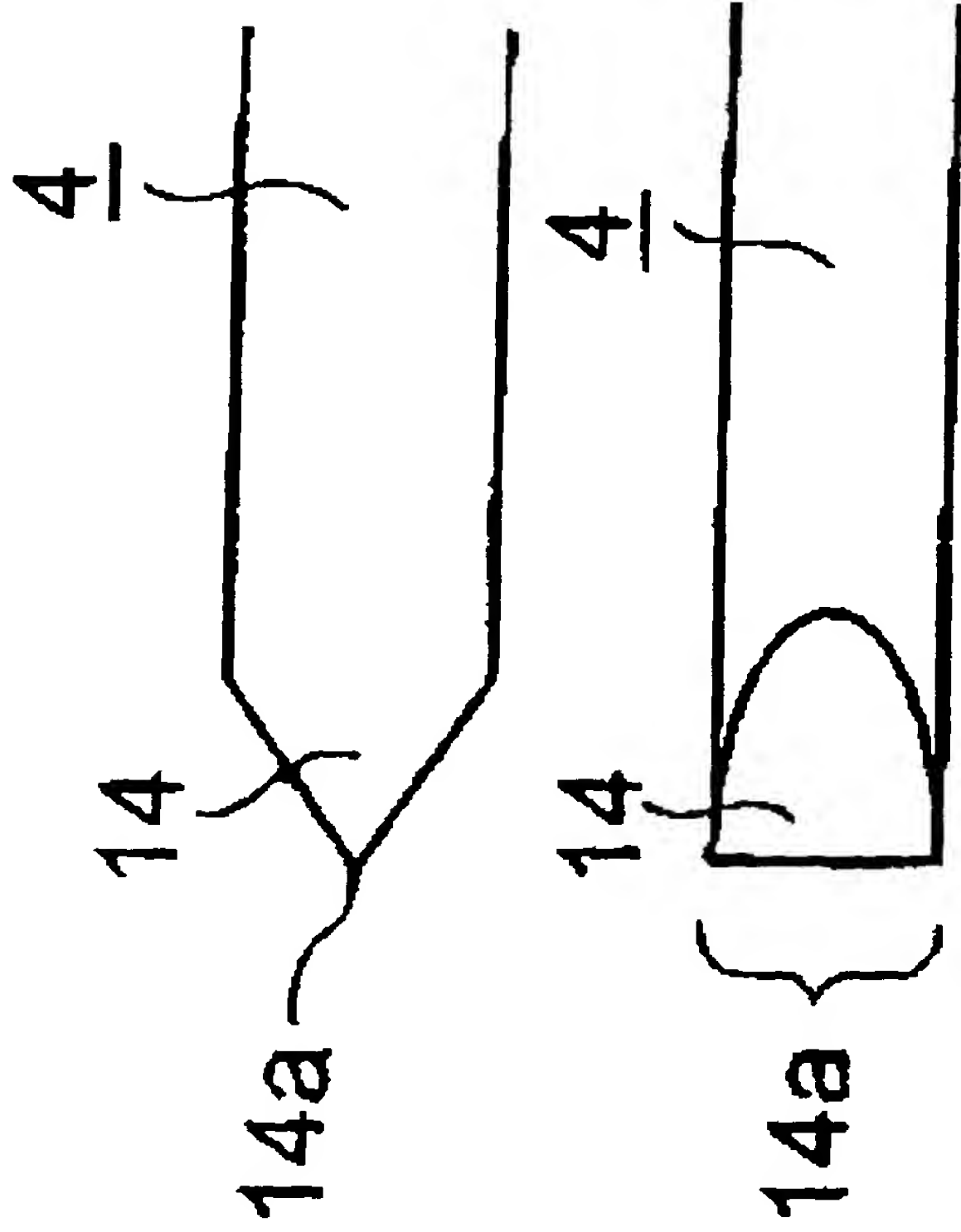


FIG. 7(a)

FIG. 7(b)

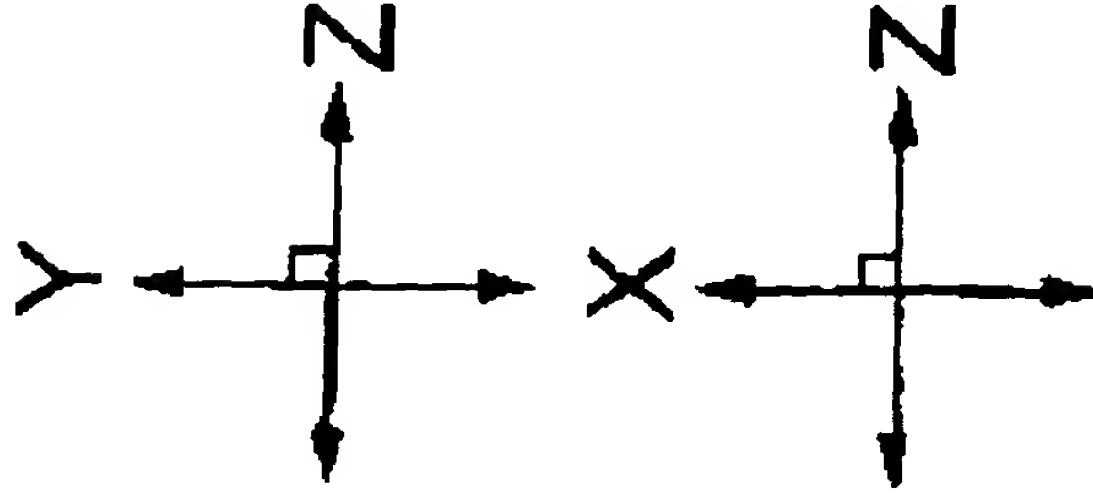


FIG. 7(a) and FIG. 7(b)

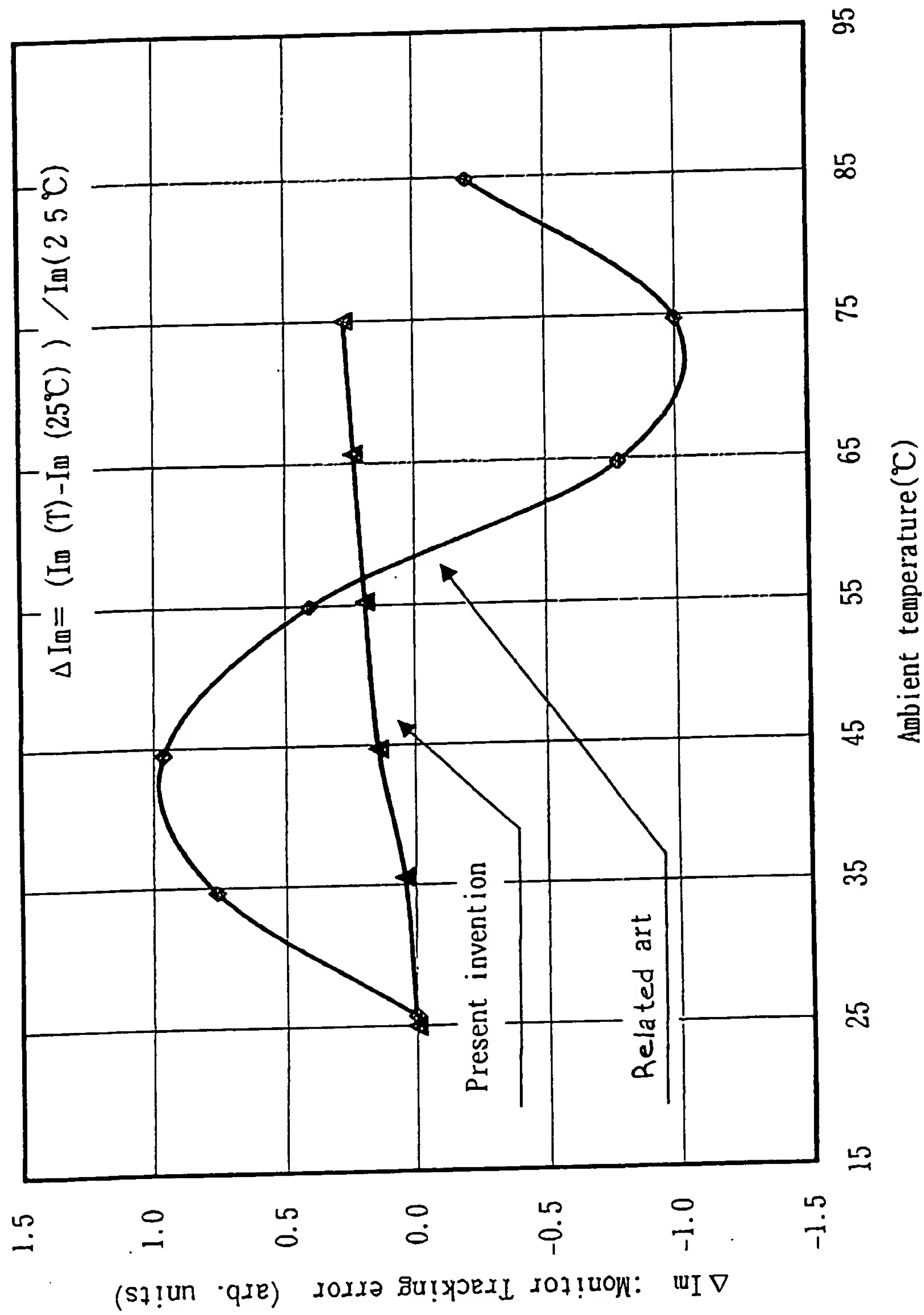


Fig. 15 Improvement in Monitor Tracking Error

FIG. 16

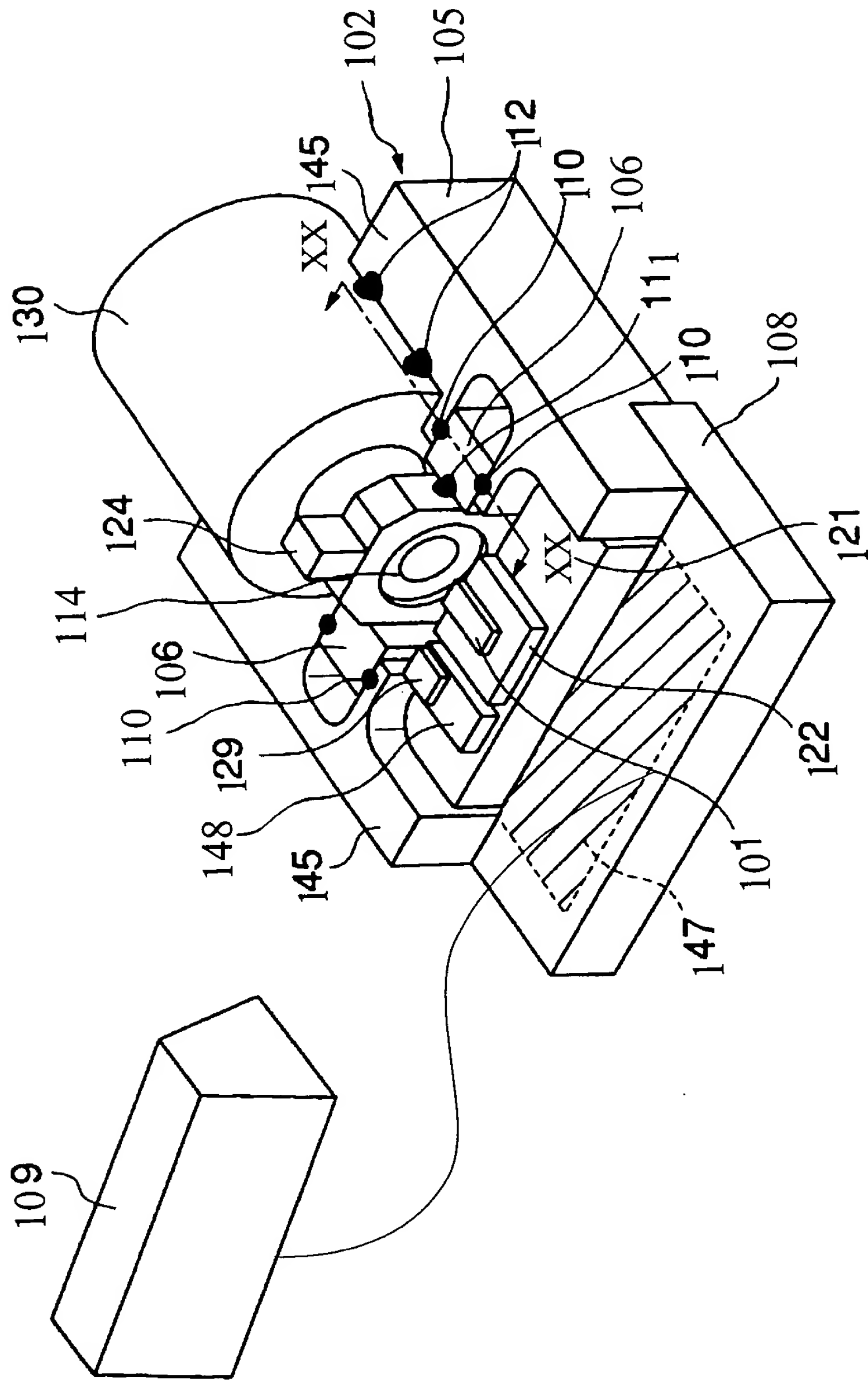
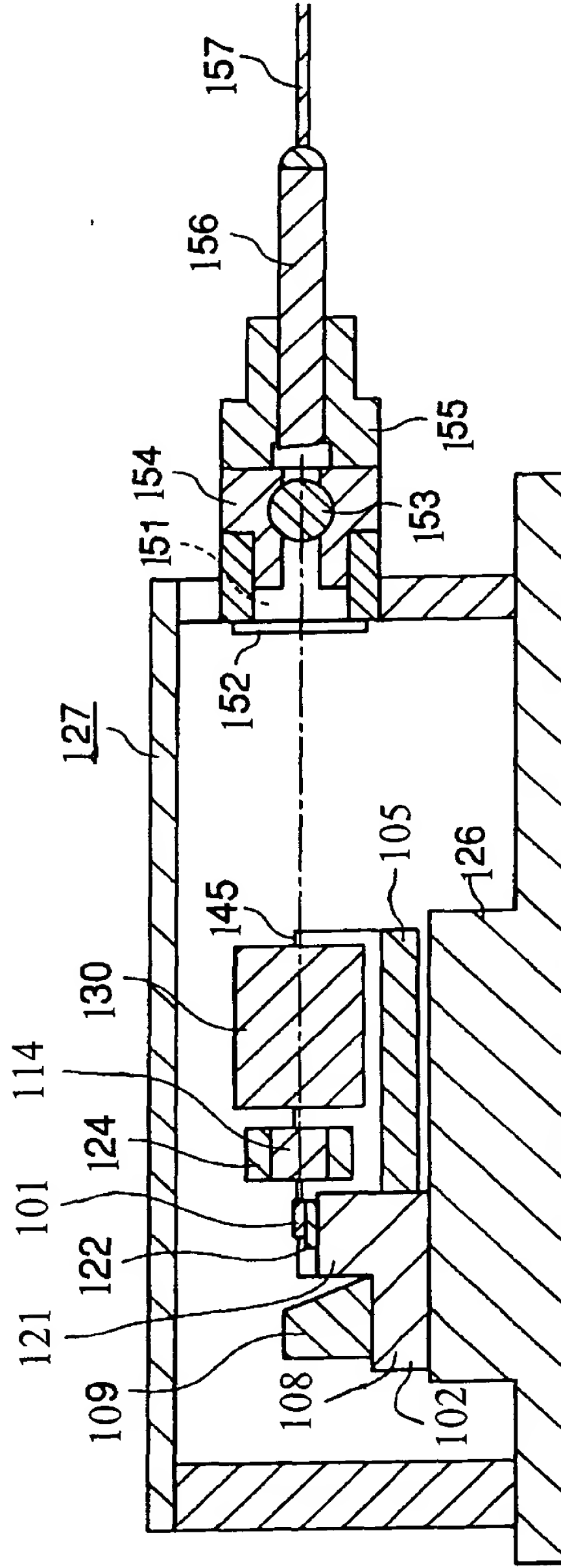


FIG. 17





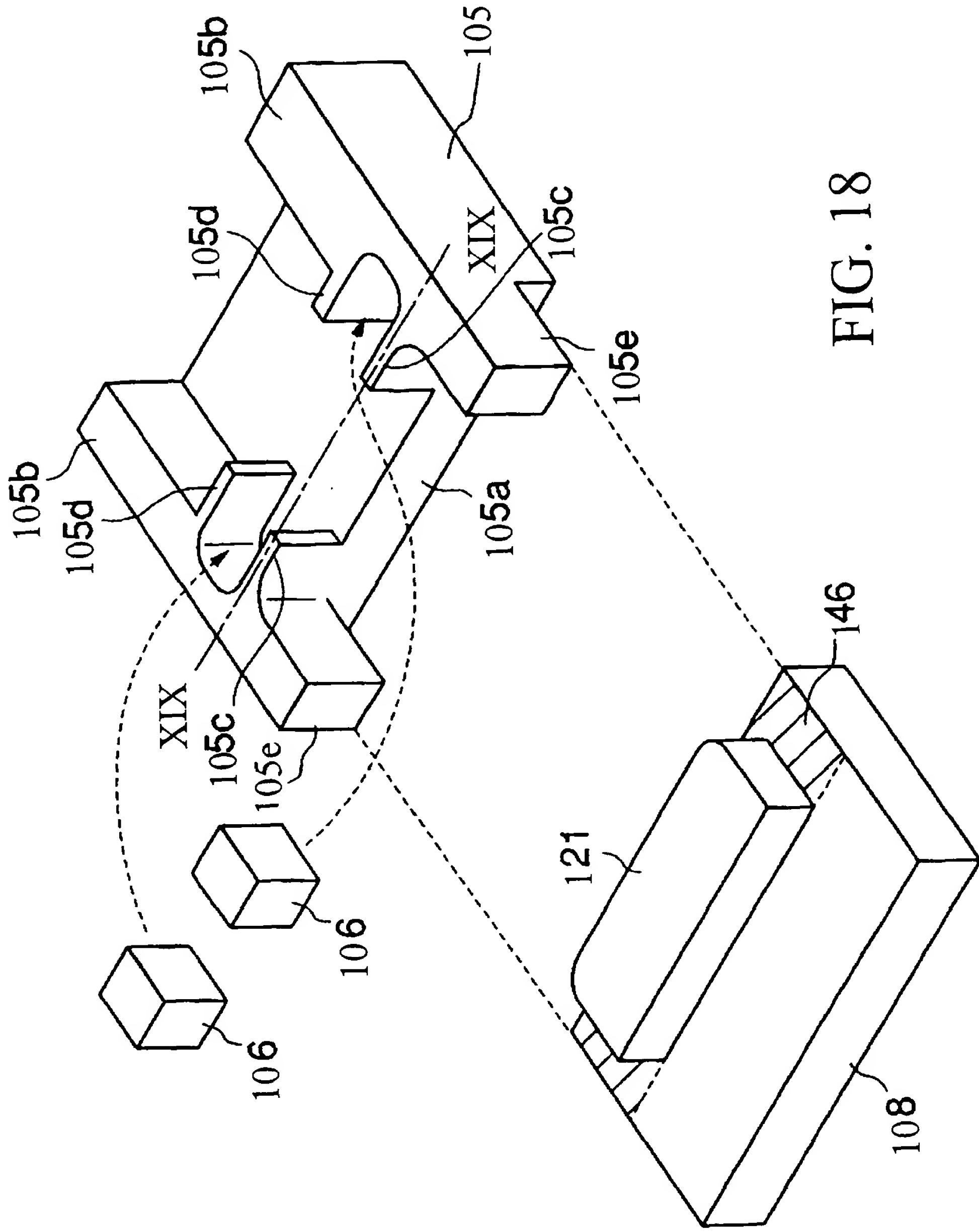


FIG. 18

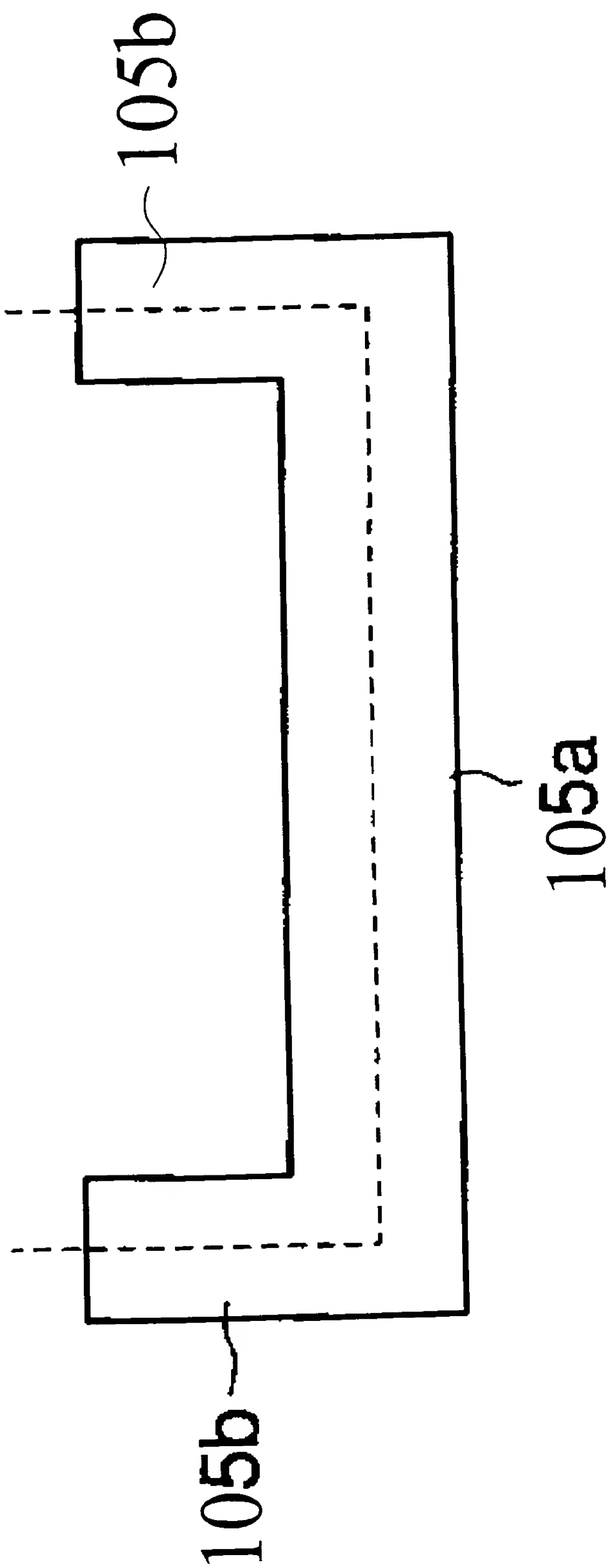


FIG. 19



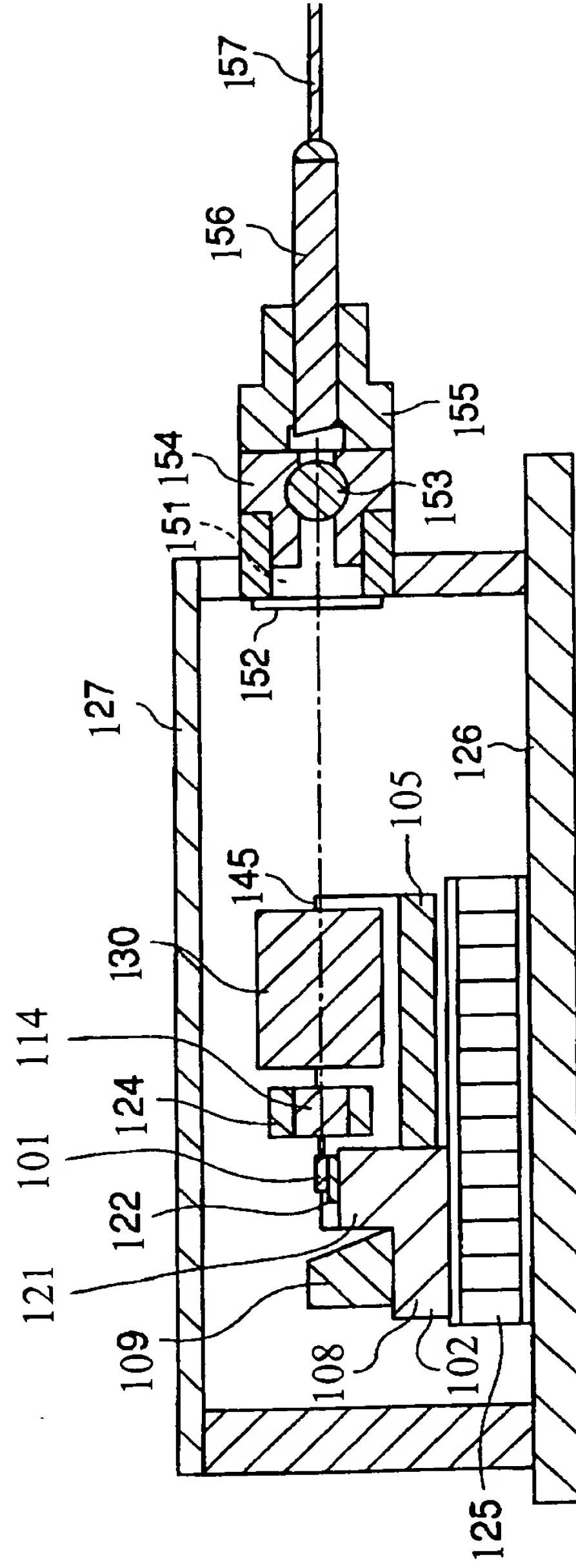


FIG. 21

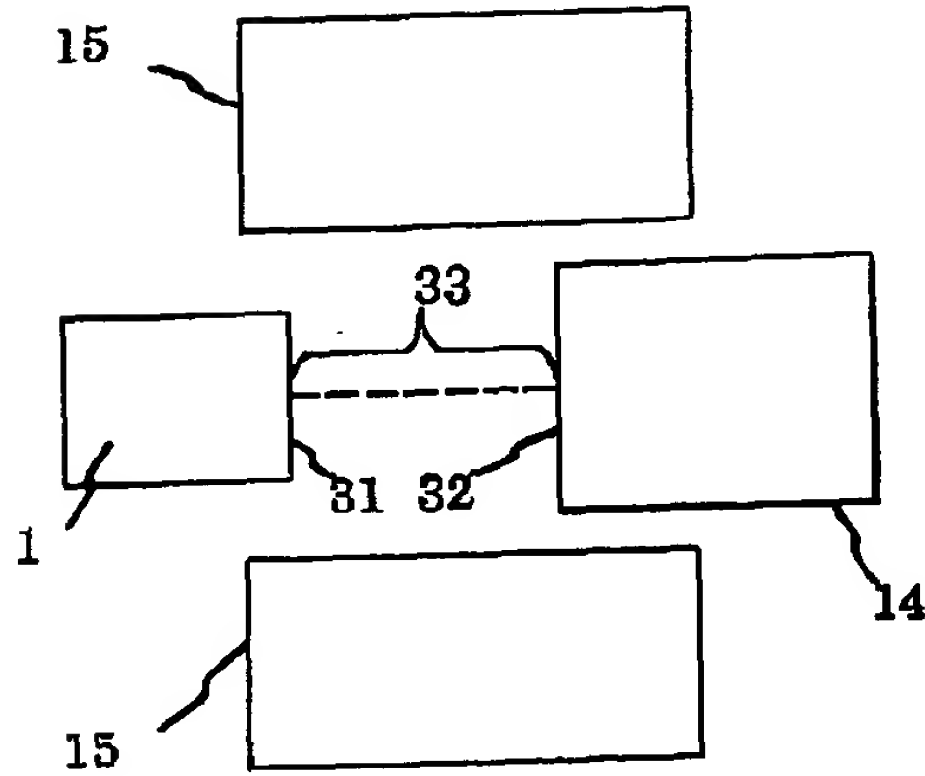


FIG. 22

FIG. 23(a)



FIG. 23(b)

